

# 阴性反差染色技术的探讨

洪 潤 陈良标 龐其方

周思敬

(中国医学科学院病毒系, 北京)

(中国医学科学院仪器研究所, 北京)

阴性反差染色 (Negative contrast staining) 是分子水平上研究生物組織結構的3个最重要方法之一, 最早由 Huxley 氏<sup>[1]</sup>、后来被 Brenner 氏等<sup>[2-7]</sup>应用于病毒结构的研究。这一方法的基本原理是利用重金属盐类(磷鎘酸、磷鉬酸等)对电子的相对不通透性, 使生物标本在电鏡下借对比反差显出其細微結構。与正染色相反, 生物材料較其外周环境(磷鎘酸盐类)更透明而显出倒轉的反差。由于此法具有良好的反差及顯現細微結構等独特优点, 很快就被各国学者推广应用。目前, 这一方法已經被广泛应用于各种微生物及其他超微结构的研究, 不仅用来研究病毒本身的結構, 而且正被当作研究病毒与細胞关系的重要方法。

阴性反差染色技术要求以下几个基本条件, 即: 高电压高分辨率的电子显微鏡, 以求得对标本有良好的穿透力和分辨; 双聚光鏡装置以求得到足够的亮度; 孔径很小(30—40微米)的物鏡光栏以便得到高度反差, 以及坚固的支持膜(一般利用碳膜或 (Formvar) 聚氯甲醸膜)以便經得住电子束的冲击。

在我国現有条件下, 能否利用阴性反差染色技术进行相应的工作, 曾是一个未得到解决的問題, 这篇报告是我們从事建立阴性反差染色技术所得的結果。

## 一、材料和方法

**病毒** 提純的流感病毒 Pr8 株\*, 传染性軟疣及帶狀疱疹病毒(直接取自患者)。将新鮮提純的病毒悬浮于 1% 的醋酸銨溶液內, 浓度視需要而定, 但不宜太稀。

### 支持膜

**碳膜** 为了解决碳膜問題, 我們在 HBA-1 型真空噴镀仪上安装了自制的噴碳装置(图 1)。取两枝約 5—10 厘米长的碳棒, 一枝磨尖并使与另一枝 3 毫米直径的平端接触, 两枝碳棒分別与正負电极相联。将整个装置固定在真空噴镀仪的一枝电柱上。将平滑的云母片用刀剝离成薄片, 放到噴镀台上, 使其新剝离面向上。云母片大小一般約 5×5 厘米, 碳棒与云母片之間距离不大于 15 厘米。在高真空( $10^{-4}$ — $10^{-5}$ )情况下, 用 10—15 伏、40—60 安培, 約經 30—60 秒即可在云母片上得到需要的碳膜。为了控制碳膜的厚度, 可在云母片旁放一小块白瓷片, 当瓷片表面出現茶色时, 膜的厚度約在 100—150 Å 左右。

将带有碳膜的云母片取出, 剪去边缘, 于冷水上使碳膜慢慢与云母片分离而漂浮于水面。然后将其打捞于电鏡銅网上, 待干后即可使用。

**火棉胶膜** 用醋酸戊酯将火棉胶配成 2% 溶液, 用吸管将火棉胶液滴 2—3 滴于盛有冷水的大平

本文 1963 年 8 月 21 日收到

\* 流感病毒由本系薛凤举同志提供, 特此致謝意。

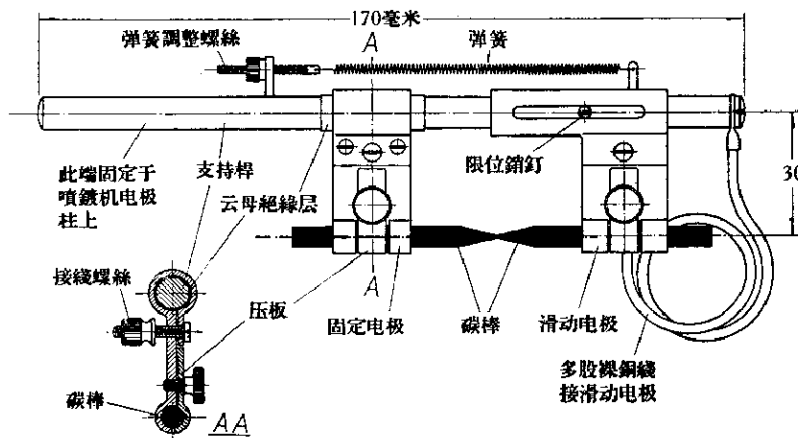


图 1 自制喷碳装置(为原大的 1/2)

皿内,待醋酸戊酯挥发后,水面上形成一层约 150—200 Å 厚的支持膜,用铜网打捞后即可使用。

磷钨酸 (Phosphotungstic acid, 以下简称 PTA), 国产, 用双蒸水配成 1—2% 的浓度, 并用 1M KOH 将 pH 调整到中性。

**电镜** SEM-3 型民主德国电磁式电镜, 分辨率 20 Å 左右, 加速电压 60、80 和 100 KV, 单聚光镜, 光栏为 60—70 微米, 物镜光栏为 50—60 微米之间, 国产红旗牌电子感光板照相, 电子成像在 6,000—40,000 倍。

#### 染色法:

1. 喷雾法 按 Brenner 和 Horne (1959) 原始方法, 将病毒悬液与等量的 1% 或 2% PTA 混合后放到自制小型玻璃喷雾器(图 2)内, 立即喷到碳膜或火棉胶膜铜网上, 进行电镜观察。

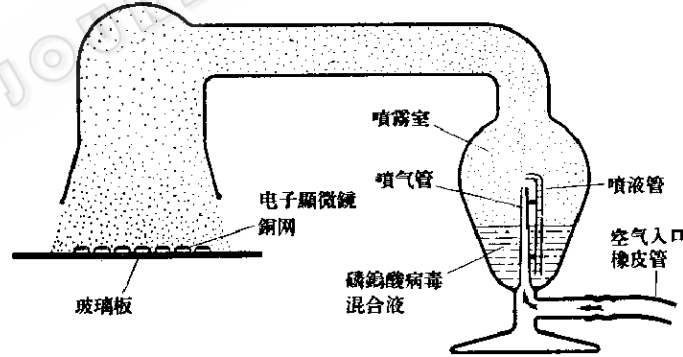


图 2 自制小型玻璃喷雾器(为原大的 1/2)

#### 2. 滴附法

(1) 将病毒-PTA 等量混合液用拉细的巴氏吸管直接滴到碳膜或火棉胶膜铜网上, 待 10 分钟后将多余的病毒-PTA 混合液用吸水纸吸干, 进行电镜观察。

(2) 先将病毒悬液滴在碳膜或火棉胶膜铜网上, 待 3—5 分钟后, 用吸水纸吸去多余病毒悬液, 并立即滴上 1% 或 2% PTA 溶液, 染色 3—5 分钟后用吸水纸吸干多余的 PTA 溶液, 必要时可以重复滴上和吸掉 PTA 溶液。将铜网放在真空中保存或立即进行电镜观察。

## 二、结 果

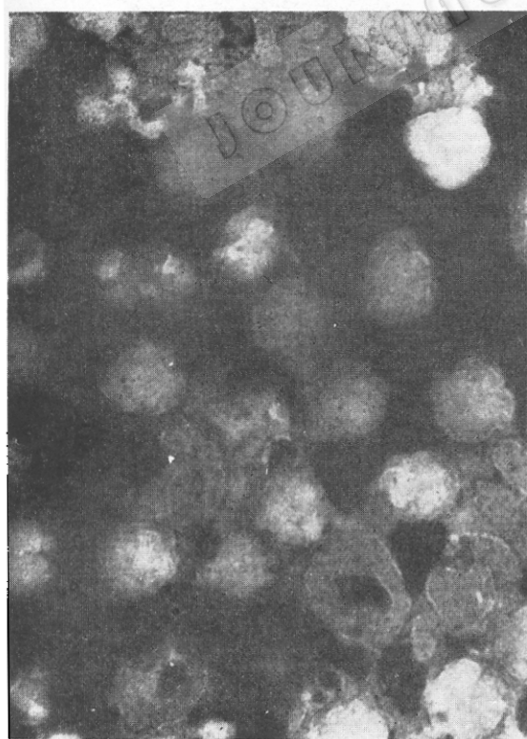
(1) 为了便于比较, 现将两种支持膜和两种标本制作方法列表如下:

## 兩种支持膜的效果比較

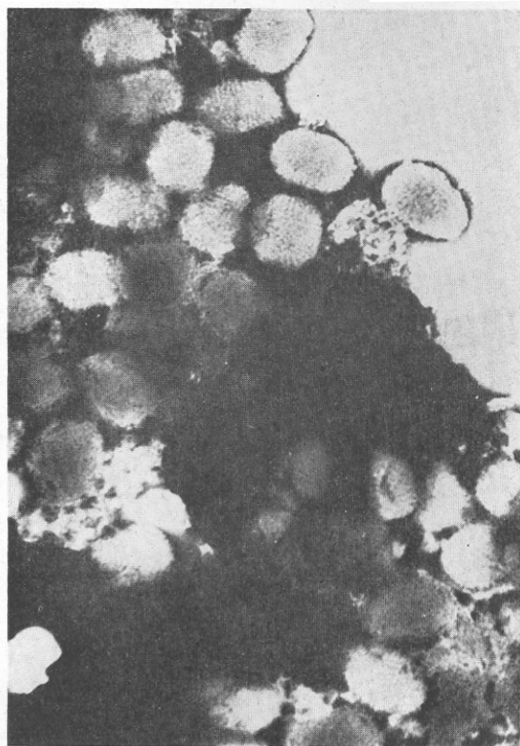
碳 膜	火 棉 胶 膜
1. 制作手續較复杂	制作方便
2. 易产生小裂紋和小皺折,影响滴膜和照相时聚焦,只适于噴霧法	平坦,无裂紋,无皺折,噴霧和滴膜均适用
3. PTA 在高压时很易聚縮成团块	PTA 較稳定,不易聚縮成团
4. 耐高压, 100KV 时不破裂	耐高压差,适用于 80KV。100KV 时只能短时间应用

## 噴霧法和滴附法的結果比較

噴 霧 法	滴 附 法
1. 所需病毒悬液量較大,至少 1 毫升	少量病毒悬液即可, 0.1 毫升已足够
2. 容器面积較大,造成材料浪费	拉細的滴管很小,节省材料
3. 手續复杂,每次制作标本时间至少 2 小时	操作簡單,节省時間,每次最多半小时
4. 电鏡下可見病毒量少	电鏡下到处都可見到病毒(图 3)
5. 磷鎢酸易縮成团,不均,不易觀察和照相	磷鎢酸均匀展开,易于觀察和照相
6. 易造成标本的沾污, 不易控制病毒,有造成实验感染的危险	标本清洁,不易沾污 病毒悬液容易控制,实验室感染可能性小



A



B

图 3 (A) 带状泡疹病毒的阴性反差染色  $\times 60,000$ (B) 传染性软疣病毒的阴性反差染色  $\times 26,000$

### (2) 磷钨酸的 pH

我們比較了PTA的pH对染色的影响。看来pH的可变范围比原来預料的要大得多。pH在5.5—7.2間的染色結果并无重大差异。pH过低时PTA易变成顆粒性凝縮物，影响細微结构的觀察，pH中性(pH 7.0)时結果最佳[图4(B)(C)]。

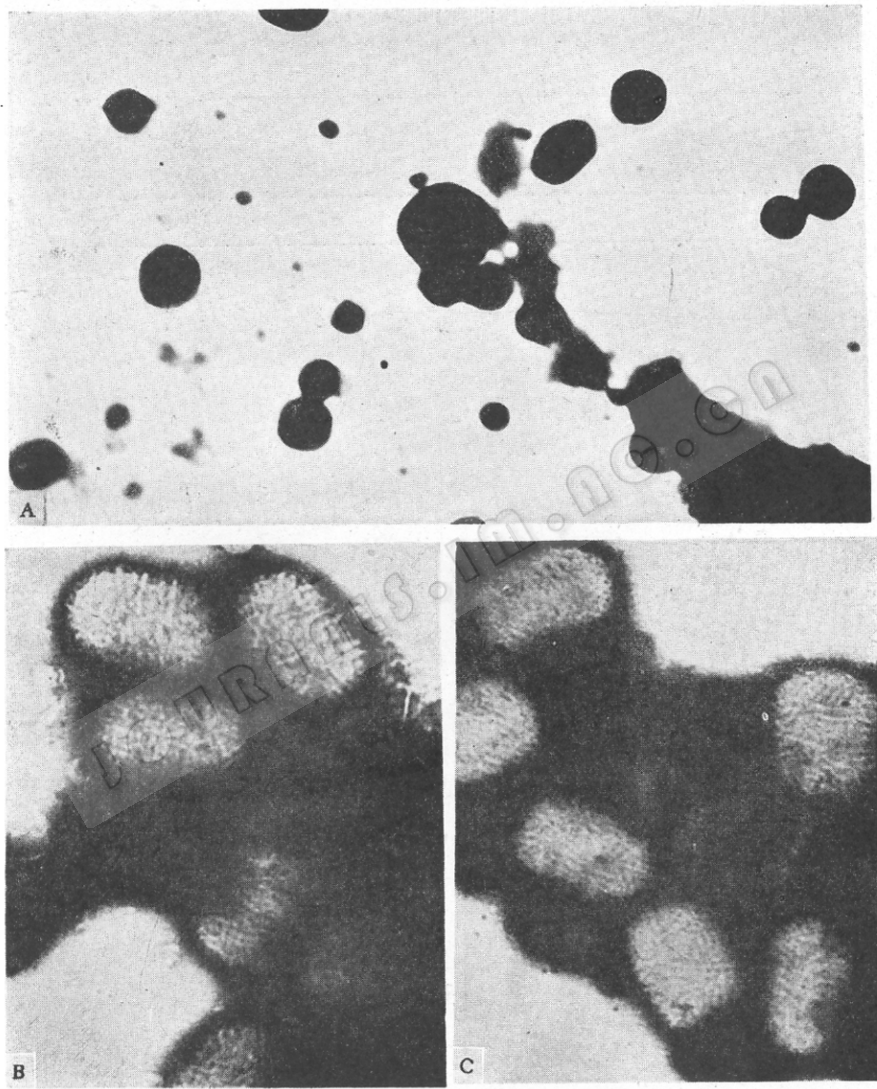


图4 PTA的pH对染色的影响(传染性软疣病毒)

- (A) PTA的pH为1.86时; PTA和病毒凝縮成团  $\times 24,000$ ;
- (B) PTA的pH为6.58时, 病毒的結構清楚  $\times 55,000$ ;
- (C) PTA的pH为8.0时, 病毒的結構不很清楚  $\times 55,000$ 。

### (3) 电鏡照相技术

PTA在电鏡下的不稳定性要求在电鏡操作时作出相应的努力，任何的突然加热都会影响成相結果。新鮮制备的标本应当使有一个“适应”过程，我們的經驗証明，开始时最好用較低电压(40或60KV)并在灯絲和聚光鏡电流較小的情况下进行1—2分钟的打击，这样，可增加标本的稳定性。經過这样处理的标本对高电压有較好的适应。

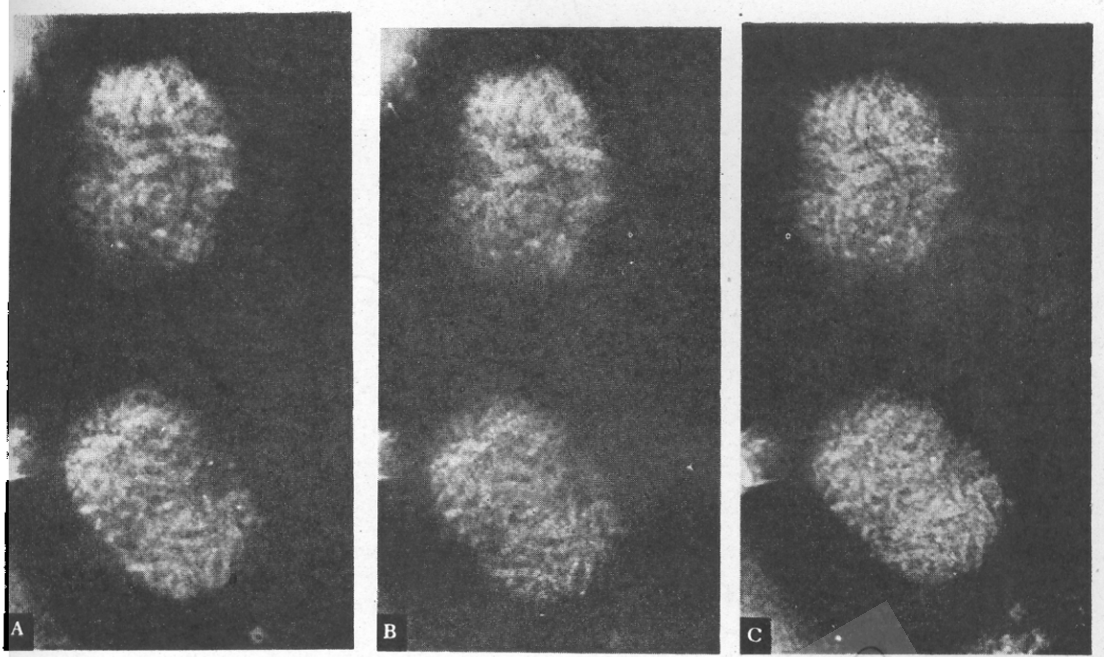


图5 不同电压下的阴性反差染色标本成象結果的比較(传染性軟疣病毒)  $\times 85,000$   
 (A) 60 KV 下的成象; (B) 80 KV 下的成象; (C) 100 KV 下的成象。



图6 流感病毒的絲状体在 80 KV 下的成象 表面负染色法  
 增可显  $\times 220,000$

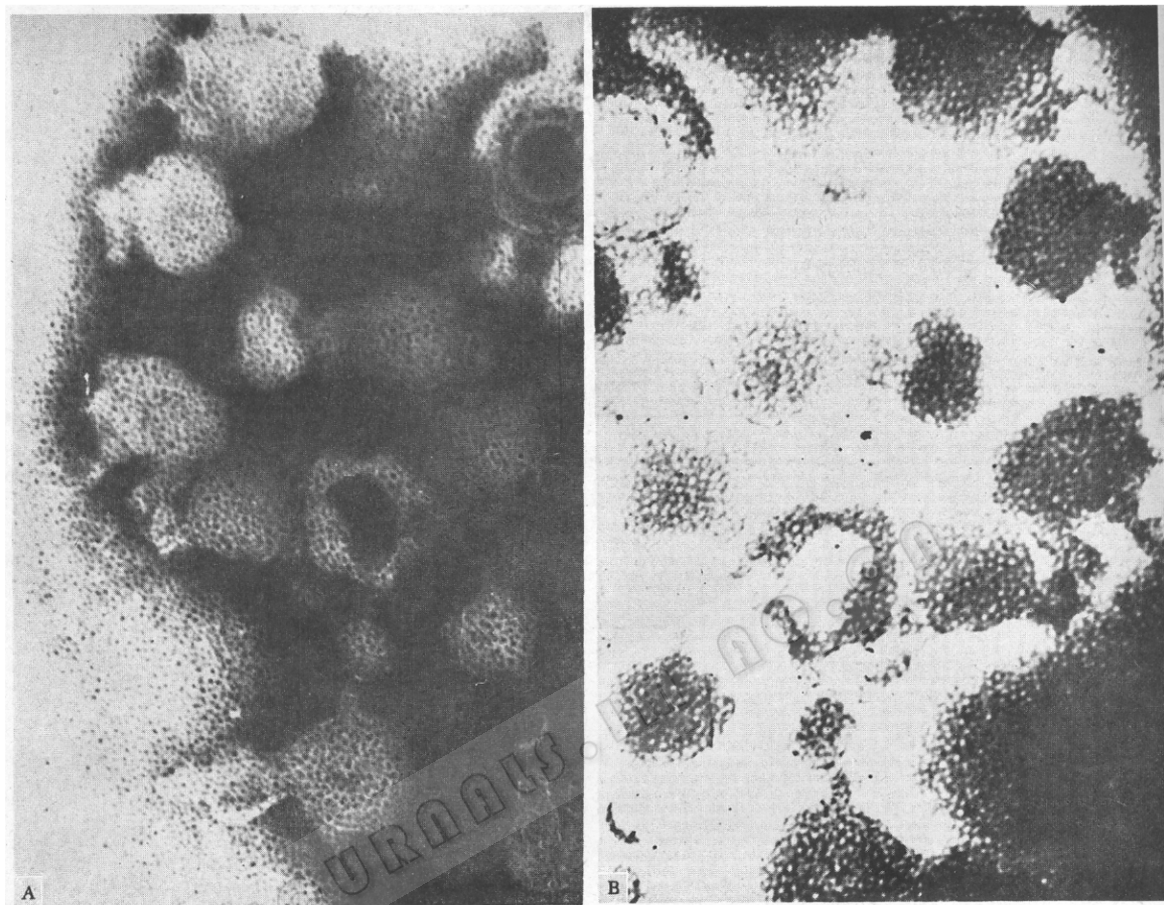


图7 阴性反差染色标本,因电子束的冲击所造成的人工损伤(带状泡疹病毒)  $\times 86,600$   
(A)(B) 为同一相片的正印和反印,注意凝聚的PTA与病毒的亚单位近似。

阴性反差标本在电鏡照相时应当有足够的亮度，并相应的縮短电子暴光時間而加長底片的显影時間，否則就不能使細微結構得到充分显露。

我們曾在同样条件下多次地比較了 60 KV、80 KV 与 100 KV 的成相情况，結果表明并无显著差別。图 5 为同一視野在不同电压下所得相片。图 6 为 80 KV 下流感病毒的絲状体。从这两种大小和結構不同的病毒电鏡相片中，不仅証明了以低电压代替高电压的肯定可能性，而且还可清楚地見到病毒的微細結構。因此，我們認為，重要的在于照相时适合的曝光時間和相应的显影時間的判断与这两个方面的不協調情況之間的差別。在合适的曝光和显影前提下，60 或 80 KV 的电压所产生的結果不仅不次于 100 KV，相反，可以避免在 100 KV 时很易发生的不良結果，包括高电压引起 PTA 的揮发，PTA 顆粒集結以及生物标本本身的变形等人工損傷(图 7)，这种人工損傷甚至易被誤認為病毒的亞单位。

### 三、討 論

1. 用二級中等分辨能力的電鏡，60 和 80 KV 中压进行阴性反差染色的可能性  
© 中国科学院微生物研究所期刊联合编辑部 <http://journals.im.ac.cn>

現有的有关阴性反差染色的研究报告都是用高电压,双聚光鏡,小光栏的高分辨率电子显微鏡完成的,至少在我們进行这一工作时还未能找到利用 60 KV 或 80 KV 以下电压进行研究的报告。本着因陋就簡的精神,我們做了試探,获得了滿意的結果。这些結果表明,阴性反差染色技术在电子显微鏡方面并不要求很严格的条件。我們的經驗証明,着眼点应当是染色技术本身以及照相技术。染色技术和方法可以补偿高电压、双聚光鏡等条件的不足。在不具备足够小的光栏的条件下,60 或 80 KV 的电压比 100 KV 有更多的优越性,既不引起 PTA 的变性又可揭露病毒的亚单位超微結構,滿足研究的要求。

## 2. 染色操作上的簡化

以往,在病毒的阴性反差染色方面都采用噴雾法。鉴于此法消費較大,操作手續繁多,我們試探以滴附法代替。从結果的比較中可清楚地看出,滴附法不仅滿足了实验要求,并且可以完全用火棉胶膜代替制备过程較复杂的碳膜。碳膜由于“怕水”,不易使 PTA 均匀地摊开,不适用于滴附法,而火棉胶膜对病毒的水溶液有“亲和”性可避免以上缺点。我們認為以火棉胶膜代替碳膜不仅能达到应有效果,而且有利于染色技术的改进。

## 3. 关于阴性反差染色的原理

尽管这个染色方法已有几年的历史,而且被广泛应用于許多研究,然而有关其染色原理的描述几乎无从考察。我們从所得結果中提出以下几点現象,作为討論的依据:

(1) 与普通电鏡相片相反,在阴性反差染色的相片上所看到的物体越是厚或越是致密則越透明(白),反之,越是疏松則越不透明(黑)。在两个病毒小体的重迭处这种現象尤其明显。

(2) PTA 染色較浅的病毒有立体感,染色較深(穿透良好)时失去立体感变成类似切片的平面相。

(3) 經 PTA 染色后的材料其外周虽然无 PTA 存在,仍然能显示出内部結構。

(4) PTA 染色在短時間內(2—3 分鐘)即可使觀察的生物标本“透明”。

在肯定第(4)个現象(即 PTA 使觀察的生物标本“透明”化)的前提下,对第(1)个現象的認識是:PTA 不易被电子穿透,生物标本比 PTA 对电子的穿透性大,有标本的地方 PTA 的量少,病毒重迭处 PTA 的量更少,因此,更易被电子穿透。如果把这种关系想象成断面則不难理解(图 8)。

对現象(2)的解释是:PTA 未穿透到病毒小体内部而只限于病毒表面,因此,所反映的只是表面結構,在現象(1)的原理上就不难理解了。

对現象(3)和(4)的解释是:PTA 有极大的穿透力,短時間即能穿透細菌、病毒等微生物机体,在这些微生物机体的疏松处或空隙处滞留。因此,尽管外周沒有 PTA 存在,仍然有良好的反差。

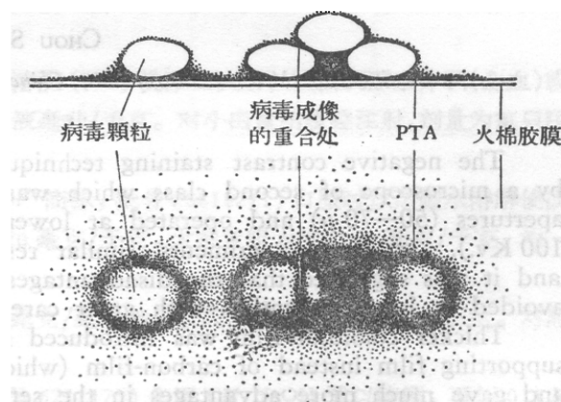


图 8 阴性反差染色投影原理的图解  
上图为切面看,下图为正面看。

PTA 如何使生物标本变成“透明”的問題，仅只是假設，其原理有待研究。

## 四、結 論

1. 我們在現有條件下建立了陰性反差染色技術，并證明這一技術可有效應用于病毒超微結構研究工作。所用儀器為單聚光鏡裝置的二級分辨率電鏡（20 Å 左右），實驗使用加速電壓為 60、80 和 100 KV，物鏡光圈直徑在 50—60 微米之間。
2. 在陰性反差染色中，用較厚的火棉膠膜代替碳膜並比較了兩種支持膜的優缺點。
3. 在比較了噴霧法和滴附法之後，肯定了滴附法可以完全代替較為複雜和消費較大的噴霧法。
4. 分析和討論了陰性反差染色的原理。

## 參 考 文 獻

- [1] Huxley, H. E.: Electronmicroscopy Prec. Stockholm. Comf. 260—261, 1956.
- [2] Brenner, S., and Horne, R. W.: *Biochim. et Biophys. Acta.* 34:103—110, 1959.
- [3] Horne, R. W., and Wildy, P.: *Advances in Virus Research.* 7:225—325, 1960.
- [4] Lwoff, A., Anderson, T. F., and Jacob, T.: *Ann. Inst. Pasteur,* 97:281—289, 1959.
- [5] Wildy, P., Russell, W. C., and Horne, R. W.: *Virology* 12:204—222, 1960.
- [6] Hoyle, L., Horne, R. W., and Waterson, A. P.: *Virology*, 13:448—459, 1961.
- [7] 洪濤、陳良標、龐其芳：微生物學報，9 (4): 321—333, 1963。

## INVESTIGATION OF NEGATIVE CONTRAST STAINING TECHNIQUE

HUNG TAO, CHEN LIANG-PIAO, PANG CHI-FANG

(Department of Virology, Chinese Academy of Medical Sciences, Peking)

CHOU SZE-CHING

(Institute of Medical Instruments, Chinese Academy of Medical Sciences, Peking)

The negative contrast staining technique was set up under the condition restricted by a microscope of second class which was equipped with a single condenser, larger apertures ( $50-70 \mu$ ) and operated at lower potentials (60, and 80 KV instead of 100 KV.). In these experiments, similar results were obtained with different potentials and it was suggested that the disadvantages produced by higher potentials could be avoided at lower potentials with great care.

Thicker colloidian-film was introduced in the negative contrast staining method as supporting film instead of carbon-film (which was more complicated in manipulation), and gave much more advantages in the sense of making the PTA well spreaded and, so, permitted a well demonstration of virus particles.

The major attention of the authors was also paid to the staining method, on which a serial of attempts was made to find out a simple and useful procedure. Eventually, a direct dropping method was assured as a simpler and more useful method as compared with the routine spraying method.

Finally, an attempt was made on discussion of the principle of the negative staining technique, especially on the respect of interpretation of electron-micrographs achieved with this technique.